

Nombre del Producto: Anticuerpo policlonal de conejo citoqueratina 18**Nº de Catálogo: APRab09737**

Solo para uso en investigación.

Resumen

Descripción	Anticuerpo policlonal de conejo
Huésped	Conejo
Aplicación	WB,IHC,ICC/IF,ELISA,IP
Reactividad	Humano, Ratón, Rata
Conjugación	No conjugado
Modificación	Sin modificar
Isotipo	IgG
Clonalidad	Policlonal
Formato	Líquido
Concentración	1 mg/ml
Almacenamiento	Hacer alícuotas y almacenar a -20°C (válido por 12 meses). Evitar ciclos de congelación/descongelación.
Envío	Bolsas de hielo
Tampon	Líquido en PBS que contiene 50% de glicerol, 0,5% de proteína protectora y 0,02% de conservante de nuevo tipo N.
Purificación	Purificación por afinidad

Aplicación

Relación de Dilución	WB 1:500-1:2000,IHC 1:100-1:300,ICC/IF 1:200-1:1000,ELISA 1:20000-1:40000,IP 1:20-1:50
Peso Molecular	47kDa

Información del Antígeno

Nombre del Gen	KRT18
Nombres Alternativos	KRT18; CYK18; PIG46; Keratin; type I cytoskeletal 18; Cell proliferation-inducing gene 46 protein; Cytokeratin-18; CK-18; Keratin-18; K18
ID del Gen	3875.0
ID SwissProt	P05783
Inmunógeno	El antisuero se produjo contra el péptido sintetizado derivado de la queratina humana 18. Rango de AA: 1-50

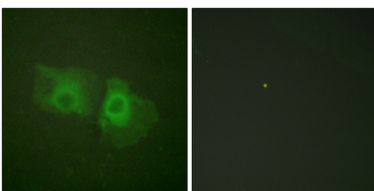
Antecedentes

KRT18 codifica la queratina 18 de la cadena de filamentos intermedios tipo I. La queratina 18, junto con su filamento asociado, la queratina 8, son quizás los miembros más comunes de la familia de genes de filamentos intermedios. Se expresan en tejidos epiteliales monocapa del cuerpo. Las mutaciones en este gen se han relacionado con la cirrosis criptogénica. Se han encontrado dos variantes de transcripción que codifican la misma proteína para este gen. [proporcionado por RefSeq, jul. de 2008], enfermedad: Los defectos en KRT18 son causa de cirrosis criptogénica [MIM:215600], función: Participa en la captación de complejos trombina-antitrombina por las células hepáticas (por similitud). Cuando se fosforila, participa en la reorganización de los filamentos. Participa en la entrega del CFTR mutado a la membrana plasmática. Junto con KRT8, participa en la protección de barrera mediada por la interleucina-6 (IL-6). Inducción: Por IL-6. Información adicional: Existen dos tipos de queratina citoesquelética y microfibrilar: I (ácida; 40-55 kDa) y II (neutra a básica; 56-70 kDa). PTM: O-glicosilada en múltiples sitios; los glicanos consisten en residuos individuales de N-acetilglucosamina. PTM: La fosforilación en Ser-34 aumenta durante la mitosis. Hiperfosforilada en Ser-53 en hígado con cirrosis. La fosforilación aumenta por IL-6. PTM: Escindida proteolíticamente por caspasas durante la apoptosis de células epiteliales. La escisión ocurre en Asp-238 por la acción de la caspasa-3, la caspasa-6 o la caspasa-7. Similitud: Pertenece a la familia de filamentos intermedios. Subunidad: Heterotetrámero de dos queratinas tipo I y dos tipo II. La queratina-18 se asocia con la queratina-8. Interactúa con el complejo trombina-antitrombina (por similitud). Interactúa con PNN, la proteína del núcleo del VHC y CFTR mutado. Interactúa con YWHAЕ, YWHAH y YWHAZ solo cuando está fosforilada. Interactúa con DNAJB6, TCHP y TRADD. Especificidad tisular: Se expresa en colon, placenta, hígado y muy débilmente en el exocérvix. Se observa un aumento de expresión en ganglios linfáticos de carcinoma de mama.

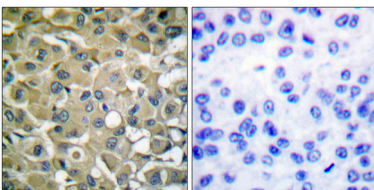
Área de Investigación

Infección por Escherichia coli patógena;

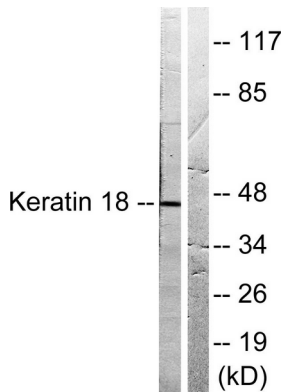
Datos de Imagen



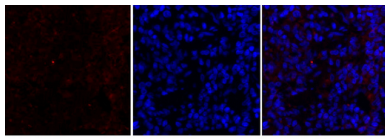
Análisis de inmunofluorescencia de células HeLa con el anticuerpo contra la queratina 18. La imagen de la derecha muestra el péptido sintetizado.



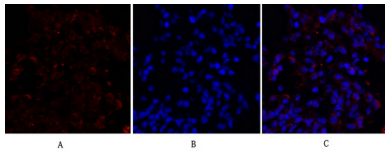
Análisis inmunohistoquímico de tejido de carcinoma mamario humano incluido en parafina, utilizando el anticuerpo contra la queratina 18. La imagen de la derecha está bloqueada con el péptido sintetizado.



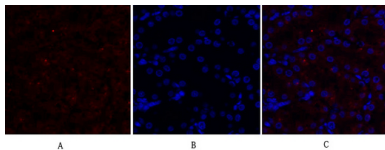
Análisis de inmunotransferencia de lisados de células HeLa, tratados con UV 5', con el anticuerpo contra la queratina 18. El carril derecho está bloqueado con el péptido sintetizado.



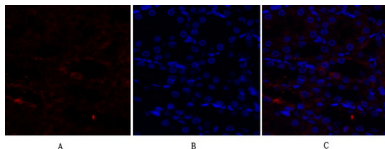
Análisis de inmunofluorescencia de tejido pulmonar de rata. 1. El anticuerpo policlonal citoqueratina 18 (rojo) se diluyó a 1:200 (4 °C, durante la noche). 2. El anticuerpo secundario marcado con Cy3 se diluyó a 1:300 (temperatura ambiente, 50 min). 3. Imagen B: DAPI (azul) 10 min. Imagen A: Objetivo. Imagen B: DAPI. Imagen C: Fusión de A+B.



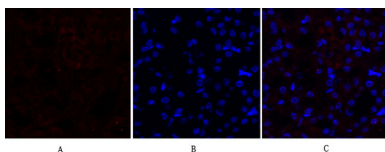
Análisis de inmunofluorescencia de tejido pulmonar de rata. 1. El anticuerpo policlonal citoqueratina 18 (rojo) se diluyó a 1:200 (4 °C, durante la noche). 2. El anticuerpo secundario marcado con Cy3 se diluyó a 1:300 (temperatura ambiente, 50 min). 3. Imagen B: DAPI (azul) 10 min. Imagen A: Objetivo. Imagen B: DAPI. Imagen C: Fusión de A+B.



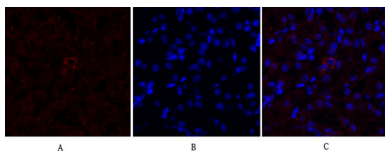
Análisis de inmunofluorescencia de tejido renal de rata. 1. El anticuerpo policlonal citoqueratina 18 (rojo) se diluyó a 1:200 (4 °C, durante la noche). 2. El anticuerpo secundario marcado con Cy3 se diluyó a 1:300 (temperatura ambiente, 50 min). 3. Imagen B: DAPI (azul) 10 min. Imagen A: Objetivo. Imagen B: DAPI. Imagen C: Combinación de A+B.



Análisis de inmunofluorescencia de tejido renal de rata. 1. El anticuerpo policlonal citoqueratina 18 (rojo) se diluyó a 1:200 (4 °C, durante la noche). 2. El anticuerpo secundario marcado con Cy3 se diluyó a 1:300 (temperatura ambiente, 50 min). 3. Imagen B: DAPI (azul) 10 min. Imagen A: Objetivo. Imagen B: DAPI. Imagen C: Combinación de A+B.



Análisis de inmunofluorescencia de tejido renal de ratón. 1. El anticuerpo policlonal citoqueratina 18 (rojo) se diluyó a 1:200 (4 °C, durante la noche). 2. El anticuerpo secundario marcado con Cy3 se diluyó a 1:300 (temperatura ambiente, 50 min). 3. Imagen B: DAPI (azul) 10 min. Imagen A: Objetivo. Imagen B: DAPI. Imagen C: Fusión de A+B.



Análisis de inmunofluorescencia de tejido renal de ratón. 1. El anticuerpo policlonal citoqueratina 18 (rojo) se diluyó a 1:200 (4 °C, durante la noche). 2. El anticuerpo secundario marcado con Cy3 se diluyó a 1:300 (temperatura ambiente, 50 min). 3. Imagen B: DAPI (azul) 10 min. Imagen A: Objetivo. Imagen B: DAPI. Imagen C: Fusión de A+B.